

Détection et Localisation de Défauts

Christophe Farges

MASTER 2 MAINTENANCE AÉRONAUTIQUE
spécialité Ingénierie et Maintenance Aéronautique Avionique

4TNV902U



Introduction

- Automatique à l'IMA
 - Modélisation
 - à partir des équations physiques : maquette d'hélicoptère, représentation d'état d'un avion, attitude d'un satellite (L3/M1/M2)
 - par identification (M2)
 - Commande
 - P/PI/PID (L3)
 - LQG (M1)
 - commande numérique (M1)
 - commande multivariable/robuste (M2)

⇒ *conception*
 - Diagnostic
 - **déte**cter et **local**iser un phénomène anormal (**dé**fault) dans un système

⇒ *lien direct avec la maintenance aéronautique (flags pilote et capteurs, calculateur de vol et actionneurs...)*

Introduction

- Exemple 1 : défaillances affectant les chaînes de commande de gouvernes



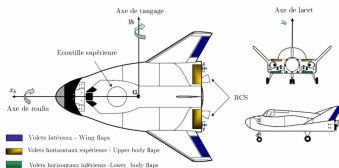
- Symptôme : oscillations indésirables affectant les gouvernes
 - Conséquences : performance et qualité de vol dégradées, usure des actionneurs...
 - Cause : dysfonctionnement de composants électriques des boucles de commande
- ⇒ Comment détecter au plus vite ce défaut en vol afin de changer d'actionneur ?
(chaque surface de contrôle a deux actionneurs redondants)

Introduction

● Exemple 2 : défaillances affectant le véhicule de rentrée HL-20



- concept de la NASA pour des missions spatiales habitées : transfert d'équipage vers la station spatiale internationale, maintenance de satellites...
- objectifs : complément à l'USS shuttle orbiter à coût opérationnel réduit, sécurité de vol améliorée, possibilités d'atterrir sur des pistes conventionnelles

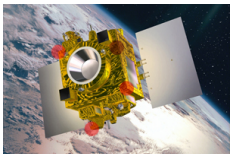


- 7 surfaces de contrôle
- 2 centrales inertielles (accéléromètres et gyroscopes), 1 centrale aérodynamique (altitude, pression dynamique, vitesse), 1 GPS

- ⇒ défauts actionneurs sur les volets latéraux (*blocage de la servo-commande, embardée due à un dysfonctionnement du circuit hydraulique*)
- ⇒ défauts capteurs sur la centrale inertielle (*endommagement du capteur durant la phase hypersonique, biais, dérive*)

Introduction

- Exemple 3 : MICROSCOPE (MICRO-Satellite à traînée Compensée pour l'Observation du Principe d'Equivalence) du CNES



- minisatellite de 300 kg lancé le 25 avril 2016
- objectif : tester le principe d'équivalence avec une meilleure précision que sur Terre (100 fois)
- instrument : constitué de deux accéléromètres différentiels identiques, chaque accéléromètre contient 2 étalons de masse cylindriques maintenus par commande au centre d'une cage par lévitation électrostatique
 - un accéléromètre a des étalons de même matériau (Pt)
 - l'autre accéléromètre a des étalons de masse différente (Pt/Ti)
- \neq sur la commande des deux étalons \Rightarrow violation du principe d'équivalence
- expérience sensible à des déviations de trajectoire \Rightarrow nécessité de détecter
 - défauts actionneurs : blocage de diaphragmes parmi les 12 tuyères
 - défauts capteurs : biais sur position et vitesse retournées par la centrale

Introduction

● Objectifs du cours

- Vue d'ensemble des méthodes de détection et localisation de défauts utilisées dans le domaine aérospatial
- Focus sur les méthodes à base de modèles et notamment l'*espace de parité*
- Cas d'étude : détection de pannes en vol sur un quadricoptère



● Déroulement

- 8 séances de cours intégré
- 1 séance sur une annale d'examen
- 1 TP sur le cas d'étude

● Pré-requis

- Connaissances basiques en représentation d'état et commande numérique
- Utilisation de MATLAB/SIMULINK

Plan du cours

- 1 Vue d'ensemble des méthodes de détection et localisation de défauts
 - Tâches de diagnostic (définitions)
 - Approches basées sur la surveillance de signaux
 - Redondance matérielle
 - Redondance analytique

- 2 Méthode de l'espace de parité
 - Rappel sur les systèmes échantillonnés
 - Espace de parité statique
 - Espace de parité dynamique

- 3 Cas d'étude : DLD pour un quadricoptère
 - Modélisation
 - Synthèse de la loi de commande

Plan du cours

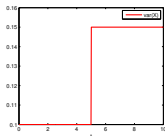
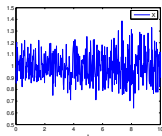
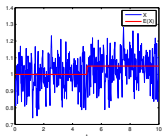
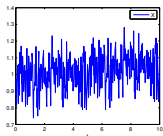
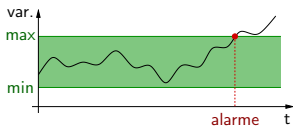
- 1 Vue d'ensemble des méthodes de détection et localisation de défauts
 - Tâches de diagnostic (définitions)
 - Approches basées sur la surveillance de signaux
 - Redondance matérielle
 - Redondance analytique
- 2 Méthode de l'espace de parité
 - Rappel sur les systèmes échantillonnés
 - Espace de parité statique
 - Espace de parité dynamique
- 3 Cas d'étude : DLD pour un quadricoptère
 - Modélisation
 - Synthèse de la loi de commande

Tâches de diagnostic (définitions)

- Tâche de **détection** de défauts
 - Objectif : mettre en évidence l'occurrence d'événements pouvant conduire à un fonctionnement anormal du système
 - il faut distinguer les *défauts* des *perturbations* qui écartent le système du fonctionnement désiré mais se produisent en fonctionnement normal
- Tâche d'**isolation** (ou *localisation*)
 - Objectif : circonscrire la faute à un composant ou sous-ensemble de composants (actionneurs, capteurs)
- Techniques de diagnostic de pannes
 - Techniques sans modèle
 - approches basées sur la surveillance de signaux
 - redondance matérielle
 - **Techniques à base de modèles**
 - redondance matérielle

Approches basées sur la surveillance de signaux

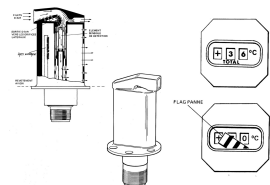
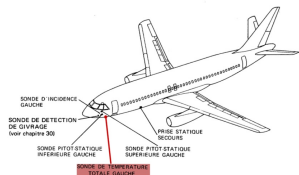
- Hypothèses
 - Des grandeurs mesurables sont porteuses d'informations sur les défauts
- Principe
 - Utiliser le traitement du signal pour surveiller si ces grandeurs se comportent normalement
- Analyse dans le domaine temporel
 - Amplitude (limit-value checking)
 - si les grandeurs quittent un intervalle correspondant à un fonctionnement normal, une alarme est déclenchée
 - Moyenne, variance



- Analyse dans le domaine fréquentiel
 - Densité spectrale de puissance

Approches basées sur la surveillance de signaux

- Exemple : sonde de température d'air du Mercure



- Indication de température résulte de la mesure d'une résistance dont la valeur suit une loi connue dépendant de la température
- Gamme de mesure : $[-99^{\circ}\text{C}, +50^{\circ}\text{C}]$
- Défaillances surveillées
 - perte d'alimentation, court-circuit
 - **erreur dans le processus de mesure**
 - *par exemple quand la température quitte la plage admissible*
 - *détectée par un circuit électrique*
 - utilisation de l'AMM pour localiser la panne
- Avantage : simple à mettre en oeuvre
- Inconvénients
 - pas efficace pour des plages de fonctionnement importantes
 - surcoût lié à la mise en place de chaînes de mesure supplémentaires

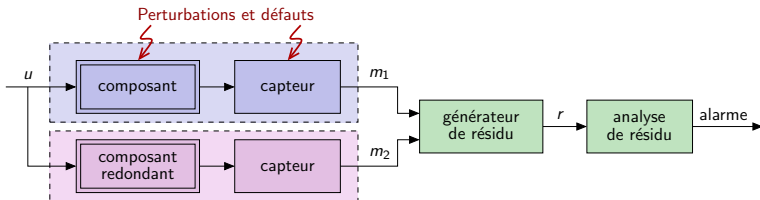
Redondance matérielle

● Principe

- introduire des composants matériels additionnels identiques (redondants)
- défaut détectée si la sortie du composant original diffère de celle des composants redondants

● Redondance matérielle double

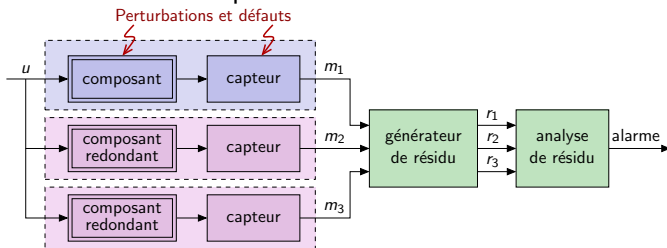
- Composants critiques dupliqués



- $r = m_1 - m_2$ est appelé signal de **résidu**
 - le résidu r est comparé à un seuil dépendant de la qualité de la mesure
- ⇒ Le composant défaillant n'est pas isolé

Redondance matérielle

• Redondance matérielle triple



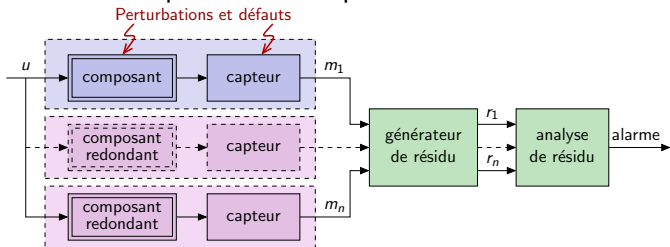
- Trois signaux de résidu : $r_1 = m_1 - m_2$, $r_2 = m_1 - m_3$, $r_3 = m_2 - m_3$
- Composant défaillant localisé par un voteur

Composant 1	Composant 2	Composant 3	r_1	r_2	r_3
✓	✓	✓	0	0	0
X	✓	✓	≠ 0	≠ 0	0
✓	X	✓	≠ 0	0	≠ 0
✓	✓	X	0	≠ 0	≠ 0
✓	X	X	≠ 0	≠ 0	≠ 0
X	✓	X	≠ 0	≠ 0	≠ 0
X	X	✓	≠ 0	≠ 0	≠ 0
X	X	X	≠ 0	≠ 0	≠ 0

⇒ isole un défaut **unique**

Redondance matérielle

- Cas général : n composants identiques

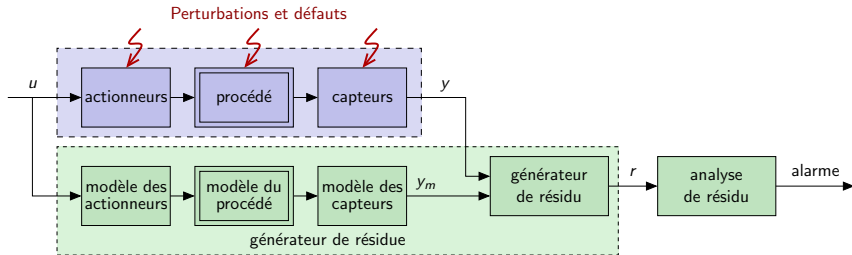


- Composant défaillant isolé si au max. $\lfloor \frac{n-1}{2} \rfloor$ apparaissent simultanément
- Exemple : détection et localisation de défauts capteurs sur Airbus A380
 - angle d'attaque, vitesses de tangage/roulis/lacet...
- Avantages : simple à concevoir et à mettre en oeuvre
- Inconvénients
 - fautes affectant l'ensemble des composants non détectables (*perte d'alimentation, problème de masse...*)
 - coût élevé (dont limités à un nombre réduit de composants clés)

Redondance analytique

- Idée générale

- redondance matérielle remplacée par 1 modèle implanté dans 1 ordinateur
 - utilisation des signaux connus (commande et mesure)
 - **nécessite un modèle du système** (*actionneurs + procédé + capteurs*)



- comportement du système comparé en temps réel à celui de son modèle
 - une différence peut être interprétée comme le symptôme d'un défaut
- Avantages :
 - pas de coût supplémentaire
 - simple à mettre en oeuvre (ordinateur hébergeant la loi de commande)
 - permet de discriminer les effets de défauts et des perturbations

Redondance analytique

- Retour sur l'exemple 1 : défaillances de gouvernes



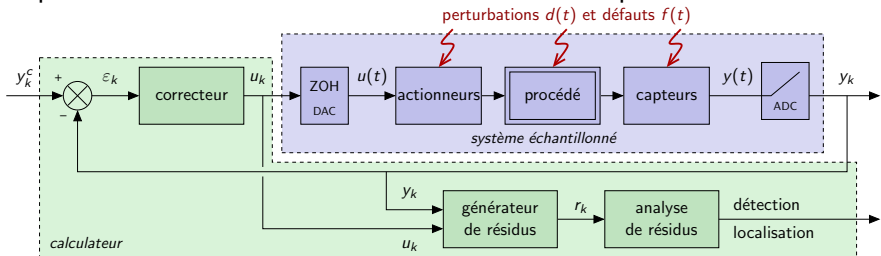
- Symptôme : oscillations indésirables affectant les gouvernes
 - Conséquences : performance, qualité de vol, actionneurs dégradés...
 - Cause : dysfonctionnement de composants électriques de commande
- ⇒ Avant l'A380 : méthode basée sur la surveillance de signaux (*sans modèle*)
- ⇒ Programme A380 : redondance analytique car oscillations appartiennent à la bande passante de la loi de commande (*à base de modèle*)

Redondance analytique

● Principe

- Comparer comportement du sys. (subissant pert. et défauts) et son modèle
→ résultat de la comparaison : **résidu** (signal indicateur de défauts)

● Implantation dans le cas d'une commande numérique



→ générateur de résidu déterminé à partir du modèle du système échantillonné

● Objectif (cas idéal)

- cas sans défaut : $r_k = 0 \forall d_k$
- cas défaillant : $r_k \neq 0$

● Objectif (cas réaliste)

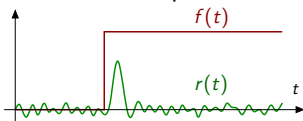
- r_k doit être le plus sensible à d_k et le moins sensible à f_k
- l'*analyse de résidu* génère l'alarme (seuil...) et isole le défaut

Redondance analytique

- Types de détectabilité

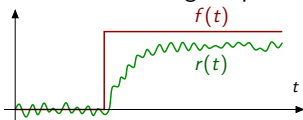
- Détectabilité faible

→ résidu affecté par le défaut uniquement en régime transitoire



- Détectabilité forte

→ résidu affecté par le défaut en régime permanent



⇒ Sinon, le défaut est qualifié de indétectable par le résidu

- Problème de diagnostic

- Étant donné un modèle du système échantillonné, comment déterminer un générateur de résidu et réaliser l'analyse des résidus obtenus ?

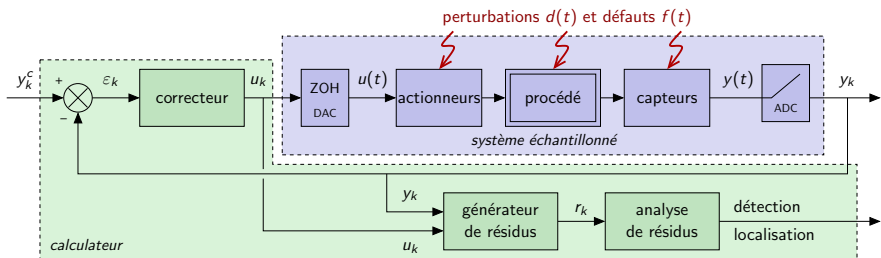
⇒ Méthodologie présentée dans ce cours : l'approche de l'espace de parité

Plan du cours

- 1 Vue d'ensemble des méthodes de détection et localisation de défauts
 - Tâches de diagnostic (définitions)
 - Approches basées sur la surveillance de signaux
 - Redondance matérielle
 - Redondance analytique
- 2 **Méthode de l'espace de parité**
 - Rappel sur les systèmes échantillonnés
 - Espace de parité statique
 - Espace de parité dynamique
- 3 Cas d'étude : DLD pour un quadricoptère
 - Modélisation
 - Synthèse de la loi de commande

Rappel sur les systèmes échantillonnés

- Schéma bloc avec convertisseurs N/A pour la commande et la DLD



- actionneurs + procédé + capteurs $\equiv \Sigma$ de représentation d'état

$$\rightarrow \Sigma : \begin{cases} \dot{x}(t) &= \tilde{A}x(t) + \tilde{B}u(t) \\ y(t) &= \tilde{C}x(t) + \tilde{D}u(t) \end{cases}$$

- actionneurs + procédé + capteurs + CNA + CAN $\equiv \Sigma_k$

$$\rightarrow \Sigma_k : \begin{cases} x(k+1) &= Ax(k) + Bu(k) + B_d d(k) + B_f f(k) \\ y(k) &= Cx(k) + Du(k) + D_d d(k) + D_f f(k) \end{cases}$$

$$\text{avec } A = e^{\tilde{A}T_e}, \quad B = \int_0^{T_e} e^{\tilde{A}(T_e-\alpha)} \tilde{B} d\alpha, \quad C = \tilde{C}, \quad D = \tilde{D}$$

\rightarrow perturbations et défauts appliqués par hyp. au système échantillonné

Espace de parité - principe

- Modèle

$$\Sigma_k \begin{cases} x(k+1) &= Ax(k) + Bu(k) + B_d d(k) + B_f f(k) \\ y(k) &= Cx(k) + Du(k) + D_d d(k) + D_f f(k) \end{cases}$$

- $x(k) \in \mathbb{R}^n$: état, $u(k) \in \mathbb{R}^m$: commandes, $y(k) \in \mathbb{R}^p$: mesures
- $d(k) \in \mathbb{R}^{m_d}$: perturbations, $f(k) \in \mathbb{R}^{m_f}$: défauts

- Objectif

- Calculer $r(k)$ en utilisant les signaux connus $u(k)$, $y(k)$ et le modèle Σ_k
- $r(k)$ doit être sensible aux défauts $f(k)$ et robuste aux perturbations $d(k)$

- Principe de l'espace de parité statique

- utiliser la redondance directe entre les signaux mesurés (au même instant)
(*quand une variable mesurée peut être déduite des autres*)
 - à l'instant k , $r(k)$ généré à partir de $y(k)$ et $u(k)$ uniquement
 - ⇒ **espace de parité statique**
- utiliser la redondance temporelle entre mesures et entrées à des instants \neq
 - à l'instant k , $r(k)$ généré à partir des mesures et entrées présentes et passées
 - ⇒ **espace de parité dynamique**

Espace de parité statique - exemples introductifs

- Modèle

$$\Sigma_k \begin{cases} x(k+1) = Ax(k) + Bu(k) + B_d d(k) + B_f f(k) \\ y(k) = Cx(k) + Du(k) + D_d d(k) + D_f f(k) \end{cases}$$

- $x(k) \in \mathbb{R}^n$: état, $u(k) \in \mathbb{R}^m$: commandes, $y(k) \in \mathbb{R}^p$: mesures
- $d(k) \in \mathbb{R}^{m_d}$: perturbations, $f(k) \in \mathbb{R}^{m_f}$: défauts
- Objectif : trouver $r(k) = f(y(k))$ sensible uniquement aux défauts
- Exemple 1 : redondance matérielle

- $y(k) = \begin{bmatrix} y_1(k) \\ y_2(k) \end{bmatrix} = \begin{bmatrix} 1 \\ 1 \end{bmatrix} x(k) + \begin{bmatrix} f_1(k) \\ f_2(k) \end{bmatrix}$

→ $f_i(k)$: défaut sur le capteur i

- $r(k) = \underbrace{y_1(k) - y_2(k)}_{\text{forme de calcul}} = \cancel{x(k)} + f_1(k) - \cancel{x(k)} - f_2(k) = \underbrace{f_1(k) - f_2(k)}_{\text{forme d'évaluation}}$

⇒ $r(k)$ peut détecter à la fois $f_1(k)$ et $f_2(k)$

Espace de parité statique - exemples introductifs

● Model

$$\Sigma_k : y(k) = Cx(k) + D_d d(k) + D_f f(k)$$

- $x(k) \in \mathbb{R}^n$: état, $u(k) \in \mathbb{R}^m$: commandes, $y(k) \in \mathbb{R}^p$: mesures
- $d(k) \in \mathbb{R}^{m_d}$: perturbations, $f(k) \in \mathbb{R}^{m_f}$: défauts

● Objectif : trouver $r(k) = f(y(k))$ sensible aux défauts uniquement

● Exemple 2

$$y(k) = \begin{bmatrix} y_1(k) \\ y_2(k) \\ y_3(k) \\ y_4(k) \\ y_5(k) \end{bmatrix} = \begin{bmatrix} 1 & 0 & 1 \\ 1 & 2 & 1 \\ 2 & 0 & 2 \\ 1 & 0 & 2 \\ 2 & 2 & 2 \end{bmatrix} \begin{bmatrix} x_1(k) \\ x_2(k) \\ x_3(k) \end{bmatrix} + \begin{bmatrix} 0 & 0 \\ 0 & 1 \\ 1 & 2 \\ 0 & 0 \\ 0 & 0 \end{bmatrix} \begin{bmatrix} f_1(k) \\ f_2(k) \end{bmatrix}$$

→ $f_1(k)$ affecte le capteur 3 et $f_2(k)$ affecte les capteurs 2 et 3

● Forme de calcul :

$$\begin{cases} r_1(k) = 2y_1(k) - y_3(k) \\ r_2(k) = y_1(k) + y_2(k) - y_5(k) \end{cases}$$

→ Exercice : déterminer la forme d'évaluation et vérifier que $r_1(k)$ et $r_2(k)$ sont indépendants de $x(k)$ mais sensibles à $f_1(k)$ et $f_2(k)$

→ est-il possible d'isoler les défauts à partir de ces résidus ?

⇒ méthode pour trouver les expressions de r_1/r_2 ⇒ espace de parité statique

Espace de parité statique - détection

- Modèle

$$\Sigma_k : y(k) = Cx(k) + D_d d(k) + D_f f(k)$$

- $x(k) \in \mathbb{R}^n$: état, $u(k) \in \mathbb{R}^m$: commandes, $y(k) \in \mathbb{R}^p$: mesures
- $d(k) \in \mathbb{R}^{m_d}$: perturbations, $f(k) \in \mathbb{R}^{m_f}$: défauts

- Résidus obtenus comme combinaison linéaires des mesures

- $r(k) = Wy(k)$ (forme de calcul)

→ W matrice de parité

→ déterminer W dans l'exercice précédent

⇒ comment choisir W t.q. $r(k)$ est sensible aux défauts uniquement ?

- Forme d'évaluation du résidu

- $r(k) = Wy(k) = WCx(k) + WD_d d(k) + WD_f f(k)$

→ cas idéal (sans perturbation) : $r_k = WCx(k) + WD_f f(k)$

Espace de parité statique - détection

- Calcul de la matrice de parité W
 - Forme d'évaluation (cas sans perturbation) :

$$r(k) = WCx(k) + WD_f f(k)$$

- Contrainte de robustesse
 - $f(k) = 0 \Rightarrow r(k) = 0$ (pour tout $x(k)$)
- Contrainte de sensibilité aux défauts
 - $f(k) \neq 0 \Rightarrow r(k) \neq 0$
- Solution ?

Espace de parité statique - détection

- Calcul de la matrice de parité W
 - Forme d'évaluation (cas sans perturbation) :

$$r(k) = WCx(k) + WD_f f(k)$$

- Contrainte de robustesse
 - $f(k) = 0 \Rightarrow r(k) = 0$ (pour tout $x(k)$)
- Contrainte de sensibilité aux défauts
 - $f(k) \neq 0 \Rightarrow r(k) \neq 0$
- Solution ?
 - ⇒ choisir W t.q. $WC = 0 \Rightarrow r(k) = WD_f f(k)$

- W est orthogonale C

- W existe si $p > \text{rang}(C)$ (mesures redondantes), $W \in \mathbb{R}^{(p-\text{rang}(C)) \times p}$

*Remarque : si toutes les colonnes C sont indépendantes $\Rightarrow \text{rang}(C) = n$
 \Rightarrow la condition devient $p > n$ (plus de mesures que de variables d'état)*

Remarque

Le terme **parité** vient des bits de parité utilisé en informatique. Ces bits introduisent une redondance de sorte à détecter une erreur dans la transmission de données numériques.

Espace de parité statique - détection

- Détectabilité et espace de parité

- Forme d'évaluation : $r(k) = WCx(k) + WD_f f(k)$ avec W t.q.

$$WC = 0$$

- rappel : le défaut est détectable si $\forall f(k) \neq 0 \Rightarrow r(k) \neq 0$
- ⇒ sensibilité aux défauts non garantie

- Défaut détectable si WD_f n'a pas de colonne nulle

- ⇒ vérification a posteriori
- remarque : si le défaut est détectable, il est fortement détectable

Espace de parité statique - détection

- Une méthode pour déterminer une matrice de parité

⇒ Objectif : trouver W t.q. $WC = 0$ avec $C \in \mathbb{R}^{p \times n}$, $p > n$, $\text{rang}(C) = n$

① partitionner $C = \begin{bmatrix} C_1 \\ C_2 \end{bmatrix}$, $C_1 \in \mathbb{R}^{n \times n}$, $C_2 \in \mathbb{R}^{(p-n) \times n}$

→ si C_1 de rang plein, choisir $W = [C_2 C_1^{-1} \quad -I_{p-n}]$ (ainsi $WC = 0$)

→ sinon aller à l'étape 2

② permuter les lignes de C t.q. les n premières lignes constituent une matrice de rang plein

③ partitionner $\tilde{C} = \begin{bmatrix} \tilde{C}_1 \\ \tilde{C}_2 \end{bmatrix}$, $\tilde{C}_1 \in \mathbb{R}^{n \times n}$, $\tilde{C}_2 \in \mathbb{R}^{(p-n) \times n}$ (\tilde{C}_1 est inversible)

④ calculer $\tilde{W} = [\tilde{C}_2 \tilde{C}_1^{-1} \quad -I_{p-n}]$ (ainsi $\tilde{W}\tilde{C} = 0$)

⑤ retrouver W par permutation des colonnes de \tilde{W} de la même façon que les lignes de C ont été permutées

⇒ W n'est pas unique (dépend par exemple des lignes choisies)

→ cette méthode garantit l'indépendance des $p - n$ équations de parité

Remarque : si $\text{rang}(C) < n$, enlever des colonnes de C pour conserver uniquement $\text{rang}(C)$ colonnes indépendantes

Espace de parité statique - détection

- Calcul d'une matrice de parité avec MATLAB
 - Objectif : trouver W t.q. $WC = 0$ avec $C \in \mathbb{R}^{p \times n}$, $p > n$, $\text{rang}(C) = n$
 - W n'est pas unique
 - Pour obtenir une solution unique, une contrainte est ajoutée
 - les lignes de W doivent constituer une base orthonormée
 - Le problème s'écrit
 - Trouver W t.q.
$$\begin{cases} WC & = 0 \\ WW^T & = I_{p-n} \end{cases}$$
 - Solution obtenue en utilisant $W = \text{null}(C)'$
 - Remarque : résultat différent de celui obtenu avec la méthode précédente

Espace de parité statique - détection

• Exercice

$$\bullet y(k) = \begin{bmatrix} y_1(k) \\ y_2(k) \\ y_3(k) \\ y_4(k) \\ y_5(k) \end{bmatrix} = \begin{bmatrix} 1 & 0 & 1 \\ 1 & 2 & 1 \\ 2 & 0 & 2 \\ 1 & 0 & 2 \\ 2 & 2 & 2 \end{bmatrix} \begin{bmatrix} x_1(k) \\ x_2(k) \\ x_3(k) \end{bmatrix} + \begin{bmatrix} 0 & 0 \\ 0 & 1 \\ 1 & 2 \\ 0 & 0 \\ 0 & 0 \end{bmatrix} \begin{bmatrix} f_1(k) \\ f_2(k) \end{bmatrix}$$

- 1 Déterminer une matrice de parité W
- 2 Trouver la forme d'évaluation du résidu
- 3 Ce résidu permet-il de détecter tous les défauts ?
- 4 Même question avec un défaut supplémentaire $f_3(k)$ affectant $y_4(k)$:

$$\begin{bmatrix} y_1(k) \\ y_2(k) \\ y_3(k) \\ y_4(k) \\ y_5(k) \end{bmatrix} = \begin{bmatrix} 1 & 0 & 1 \\ 1 & 2 & 1 \\ 2 & 0 & 2 \\ 1 & 0 & 2 \\ 2 & 2 & 2 \end{bmatrix} \begin{bmatrix} x_1(k) \\ x_2(k) \\ x_3(k) \end{bmatrix} + \begin{bmatrix} 0 & 0 & 0 \\ 0 & 1 & 0 \\ 1 & 2 & 0 \\ 0 & 0 & 1 \\ 0 & 0 & 0 \end{bmatrix} \begin{bmatrix} f_1(k) \\ f_2(k) \\ f_3(k) \end{bmatrix}$$

→ même exercice en utilisant MATLAB

Espace de parité statique - détection

- Robustesse aux perturbations

- Modèle : $y(k) = Cx(k) + D_d d(k) + D_f f(k)$
- Résidu $r(k) = WCx(k) + WD_d d(k) + WD_f f(k) = WD_d d(k) + WD_f f(k)$
avec W t.q. $WC = 0$
- Vérification a posteriori de la robustesse
→ si $WD_d = 0$: insensibilité aux perturbations
- Comment prendre en compte la robustesse a priori ?

Espace de parité statique - détection

- Robustesse aux perturbations

- Modèle : $y(k) = Cx(k) + D_d d(k) + D_f f(k)$
- Résidu $r(k) = WCx(k) + WD_d d(k) + WD_f f(k) = WD_d d(k) + WD_f f(k)$
avec W t.q. $WC = 0$
- Vérification a posteriori de la robustesse
 - si $WD_d = 0$: insensibilité aux perturbations
- Comment prendre en compte la robustesse a priori ?
 - ⇒ choisir W t.q. $W [C \ D_d] = 0$
si une telle matrice W existe...
 - condition d'existence : $p > \text{rang}([C \ D_d])$
 - condition d'existence simplifiée : $p > (n + m_d)$ (si $[C \ D_d]$ de rang plein)
 - si une telle matrice W n'existe pas
 - un résidu scalaire \bar{r} est calculé comme une combinaison linéaire des composantes de r
 - ⇒ \bar{r} doit être le plus sensible aux défauts et le moins sensible aux perturbations

Espace de parité statique - détection

- Robustesse aux perturbations

- Modèle : $y(k) = Cx(k) + D_d d(k) + D_f f(k)$
- Résidu $r(k) = Wy(k) = WD_d d(k) + WD_f f(k)$ avec W t.q. $WC = 0$
- Objectif

→ générer un résidu scalaire \bar{r} à partir des composantes de r :

$$\bar{r}(k) = v^T r(k) = v^T WD_d d(k) + v^T WD_f f(k) \text{ avec } W \text{ tq } WC = 0$$

$v \in \mathbb{R}^{p-n}$ appelé *sélecteur* de résidu

→ v choisi t.q. \bar{r} le plus sensible à f et le moins sensible à d

- Critère à minimiser

→ v choisi de sorte à minimiser

$$J = \frac{\|v^T WD_d\|_2^2}{\|v^T WD_f\|_2^2} = \frac{v^T WD_d D_d^T W^T v}{v^T WD_f D_f^T W^T v}$$

- Sélecteur optimal vis-à-vis du critère J

$$v^* = \arg \min_v \frac{v^T WD_d D_d^T W^T v}{v^T WD_f D_f^T W^T v}$$

→ comment calculer v^* ? ⇒ théorème de Gantmacher

Espace de parité statique - détection

- Robustesse aux perturbations

Théorème de Gantmacher

[Theory of matrices, 1961]

Le vecteur $v^* = \arg \min_v \frac{v^T M v}{v^T N v}$ est le vecteur propre associé à la plus petite valeur propre λ_{min} du faisceau (M, N) et $\min_v \frac{v^T M v}{v^T N v} = \lambda_{min}$

- Rappel sur les faisceaux de matrices

- Le faisceau associé aux matrices carrées $M \in \mathbb{R}^{n \times n}$ et $N \in \mathbb{R}^{n \times n}$ est l'ensemble de matrices $P(\alpha) = M + \alpha N = (M, N)$, $\alpha \in \mathbb{R}$
- Valeurs propres de (M, N) :
 - (M, N) a n valeurs propres
 - soit q le nombre de valeurs propres de N , alors (M, N) a q valeurs propres égales à $+\infty$ et $n - q$ valeurs propres finies
 - les $n - q$ valeurs propres finies de (M, N) sont $\lambda \in \mathbb{C} : \det(M - \lambda N) = 0$
- Vecteur propre V_i associé à la valeur propre λ_i : $V_i \in \mathbb{C}^n : M V_i = \lambda_i N V_i$
- si $M = M^T$ et $N = N^T \Rightarrow \lambda \in \mathbb{R}$, $V_i \in \mathbb{R}^n$

Espace de parité statique - détection

- Robustesse aux perturbations

- Résidu le plus sensible à f et le moins sensible à d :

$$\rightarrow \bar{r}(k) = v^{*T} r(k) = v^T W D_d d(k) + v^T W D_f f(k) \text{ avec } W \text{ tq } W C = 0$$

$$\rightarrow v^* = \arg \min_v \frac{v^T W D_d D_d^T W^T v}{v^T W D_f D_f^T W^T v}$$

- Méthode pour trouver le sélecteur optimal

① Trouver W t.q. $W C = 0$

② Déterminer les valeurs propres λ du faisceau $(W D_d D_d^T W^T, W D_f D_f^T W^T)$

③ Déterminer le vecteur propre v^* associé à la plus petite valeur propre λ_{min}

- La valeur optimale du critère est λ_{min} :

$$\rightarrow \min_v \frac{v^T W D_d D_d^T W^T v}{v^T W D_f D_f^T W^T v} = \lambda_{min}$$

Espace de parité statique - détection

• Exercice

$$\bullet \quad y(k) = \begin{bmatrix} y_1(k) \\ y_2(k) \\ y_3(k) \\ y_4(k) \\ y_5(k) \end{bmatrix} = \begin{bmatrix} 1 & 0 & 1 \\ 1 & 2 & 1 \\ 2 & 0 & 2 \\ 1 & 0 & 2 \\ 2 & 2 & 2 \end{bmatrix} \begin{bmatrix} x_1(k) \\ x_2(k) \\ x_3(k) \end{bmatrix} + \begin{bmatrix} 0 & 0 \\ 0 & 1 \\ 1 & 2 \\ 0 & 0 \\ 0 & 0 \end{bmatrix} \begin{bmatrix} f_1(k) \\ f_2(k) \end{bmatrix} + \begin{bmatrix} 1 & 0 \\ 1 & 0 \\ 1 & 0 \\ 0 & 1 \\ 0 & 1 \end{bmatrix} \begin{bmatrix} d_1(k) \\ d_2(k) \end{bmatrix}$$

→ $d_1(k)$ est un bruit affectant les mesures 1, 2 et 3

→ $d_2(k)$ est un bruit affectant les mesures 4 et 5

- ① Rappeler la forme de calcul du résidu $r(k) = Wy(k)$ insensible à $x(k)$
- ② Donner la forme d'évaluation de $r(k)$ en fonction de $d(k)$ et $f(k)$.
- ③ $r(k)$ est-il sensible à $d(k)$? Est-il possible de trouver un résidu insensible à $x(k)$ et $d(k)$?
- ④ Déterminer $\bar{r}(k)$ le plus sensible à $f(k)$ et le moins sensible à $d(k)$
- ⑤ Donner la forme d'évaluation de $\bar{r}(k)$ en fonction de $d(k)$ et $f(k)$
- ⑥ Calculer la valeur du critère J pour $r_1(k)$, $r_2(k)$ et $\bar{r}(k)$. Conclure sur l'amélioration obtenue.

→ Vérifier les résultats avec MATLAB

Espace de parité statique - détection

- Découplage par rapport à certains défauts
 - Modèle : $y(k) = Cx(k) + D_f^+ f^+(k) + D_f^- f^-(k)$
 - le résidu doit être le plus sensible aux défauts $f^+(k)$
 - le résidu doit être le moins sensible aux défauts $f^-(k)$
 - Résidu obtenu en utilisant un sélecteur
 - $r_+(k) = v_+^{*T} r(k) = v_+^T W D_f^+ f^+(k) + v_+^T W D_f^- f^-(k)$ avec W t.q. $WC = 0$
 - $v_+^* = \arg \min_{v_+} \frac{v_+^T W D_f^- (D_f^-)^T W^T v_+}{v_+^T W D_f^+ (D_f^+)^T W^T v_+}$
 - Méthode pour déterminer le sélecteur optimal
 - ① Trouver W t.q. $WC = 0$
 - ② Déterminer les valeurs propres λ du faisceau $(W D_f^- (D_f^-)^T W^T, W D_f^+ (D_f^+)^T W^T)$
 - ③ Déterminer le vecteur propres v_+^* associé à la plus petite valeur propre λ_{min}
 - Intérêt
 - si un unique défaut $f^+(k)$ est choisi, le résidu est le plus sensible à ce défaut
 - ⇒ l'utilisation d'un lot de ce type de générateurs de résidus constitue une première approche du problème de localisation

Espace de parité statique - détection

• Exercice (nouvelle matrice C)

$$\bullet \quad y(k) = \begin{bmatrix} y_1(k) \\ y_2(k) \\ y_3(k) \\ y_4(k) \\ y_5(k) \end{bmatrix} = \begin{bmatrix} 1 & 2 & 1 \\ 1 & 0 & 2 \\ 1 & 1 & 1 \\ 1 & 0 & 1 \\ 2 & 0 & 2 \end{bmatrix} x(k) + \begin{bmatrix} 1 & 2 \\ 1 & 2 \\ 0 & 0 \\ 2 & 5 \\ 0 & 1 \end{bmatrix} \begin{bmatrix} f_1^-(k) \\ f_2^-(k) \end{bmatrix} + \begin{bmatrix} 1 \\ 0 \\ 3 \\ 1 \\ 1 \end{bmatrix} f^+(k)$$

→ résidu doit être le plus sensible à $f^+(k)$

→ résidu doit être le moins sensible à $f_1^-(k)$ and $f_2^-(k)$

- ① Trouver W et donner la forme de calcul du résidu $r(k) = Wy(k)$ insensible à $x(k)$
- ② Est-il possible de trouver un résidu $r(k)$ insensible à $x(k)$ et $f^-(k)$?
- ③ Trouver le résidu $r_+(k)$ le + sensible à $f^+(k)$ et le - sensible à $f^-(k)$
→ pour obtenir une solution unique, fixer la seconde composante de v_+^* à 1
- ④ Donner la forme d'évaluation du résidu $r_+(k)$ en fonction de $f^+(k)$ et $f^-(k)$
- ⑤ Calculer la valeur du critère J pour $r_1(k)$, $r_2(k)$ et $r_+(k)$. Conclure sur la qualité du résidu obtenu.

Espace de parité statique - isolation

- Expression du résidu dans le cas sans perturbation

- $r(k) = Wy(k) = WCx(k) + WD_f f(k)$

- $x(k) \in \mathbb{R}^n$, $f(k) \in \mathbb{R}^{m_f}$, $r(k) \in \mathbb{R}^{p-\text{rang}(C)}$, $W \in \mathbb{R}^{(p-\text{rang}(C)) \times p}$ t.q. $WC = 0$

- Problème d'isolation

- Après la détection du défaut (ici, un défaut est détecté quand $r(k) \neq 0$)

- connaissant $r(k)$, comment déterminer quel défaut s'est produit ?

- ⇒ quelle composante, parmi les m_f composantes de $f(k)$, n'est pas nulle ?

- Solution

- Les résidus $r(k)$ se déplacent dans un espace de dimension $p - \text{rang}(C)$

- la direction de $r(k)$ est une signature d'un défaut donné

- Les colonnes de WD_f constituent les m_f directions vers lesquelles $r(k)$ est orienté en présence d'un défaut

- pour isoler le défaut, la direction de $r(k)$ est calculée et comparée aux colonnes de WD_f

Espace de parité statique - isolation

- Expression du résidu dans le cas sans perturbation

- $r(k) = Wy(k) = WCx(k) + WD_f f(k)$, $x(k) \in \mathbb{R}^n$, $f(k) = \begin{bmatrix} f_1(k) \\ \vdots \\ f_{m_f}(k) \end{bmatrix} \in \mathbb{R}^{m_f}$, $r(k) \in \mathbb{R}^{p-\text{rang}(C)}$
- $W \in \mathbb{R}^{(p-\text{rang}(C)) \times p}$ t.q. $WC = 0$, $W_{rf} = WD_f \in \mathbb{R}^{(p-n) \times m_f}$, $W_{rf} = [W_{rf}^{[1]} \dots W_{rf}^{[m_f]}]$

- Méthode d'isolation dans le cas sans perturbation

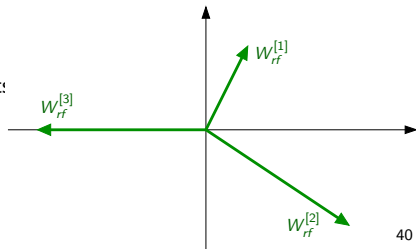
- analyse de l'orientation de $r(k)$ par rapport aux directions données par WD_f

⇒ étude de la colinéarité de $r(k)$ et des m_f vecteurs $W_{rf}^{[i]} \in \mathbb{R}^{p-\text{rang}(C)}$

if $r(k)$ est colinéaire à $W_{rf}^{[i]} \Rightarrow$ défaut f_i isolé

- Exemple : $p - n = 2$ et $m_f = 3$
 - objectif : isoler 1 défaut parmi 3
 - 3 directions associées aux défauts:

→ $W_{rf} = \begin{bmatrix} W_{rf}^{[1]} & W_{rf}^{[2]} & W_{rf}^{[3]} \end{bmatrix}$



Espace de parité statique - isolation

- Expression du résidu dans le cas sans perturbation

- $r(k) = Wy(k) = WCx(k) + WD_f f(k)$, $x(k) \in \mathbb{R}^n$, $f(k) = \begin{bmatrix} f_1(k) \\ \vdots \\ f_{m_f}(k) \end{bmatrix} \in \mathbb{R}^{m_f}$, $r(k) \in \mathbb{R}^{p-\text{rang}(C)}$
 $\rightarrow W \in \mathbb{R}^{(p-\text{rang}(C)) \times p}$ t.q. $WC = 0$, $W_{rf} = WD_f \in \mathbb{R}^{(p-n) \times m_f}$, $W_{rf} = [W_{rf}^{[1]} \dots W_{rf}^{[m_f]}]$

- Méthode d'isolation dans le cas sans perturbation

- analyse de l'orientation de $r(k)$ par rapport aux directions données par WD_f

\Rightarrow étude de la colinéarité de $r(k)$ et des m_f vecteurs $W_{rf}^{[i]} \in \mathbb{R}^{p-\text{rang}(C)}$

if $r(k)$ est colinéaire à $W_{rf}^{[i]} \Rightarrow$ défaut f_i isolé

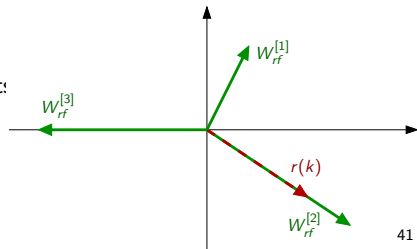
- Exemple : $p - n = 2$ et $m_f = 3$

- objectif : isoler 1 défaut parmi 3
- 3 directions associées aux défauts:

$\rightarrow W_{rf} = \begin{bmatrix} W_{rf}^{[1]} & W_{rf}^{[2]} & W_{rf}^{[3]} \end{bmatrix}$

- ici r est colinéaire à $W_{rf}^{[2]}$

\Rightarrow défaut f_2 isolé



Espace de parité statique - isolation

- Expression du résidu dans le cas sans perturbation

- $r(k) = Wy(k) = WCx(k) + WD_f f(k)$, $x(k) \in \mathbb{R}^n$, $f(k) = \begin{bmatrix} f_1(k) \\ \vdots \\ f_{m_f}(k) \end{bmatrix} \in \mathbb{R}^{m_f}$, $r(k) \in \mathbb{R}^{p-\text{rang}(C)}$
- $W \in \mathbb{R}^{(p-\text{rang}(C)) \times n}$ t.q. $WC=0$, $W = [W^{[1]} \ \dots \ W^{[m_f]}]$

- Méthode d'isolation dans le cas sans perturbation

- Cas particulier : détection de défauts capteurs

- $f(k) = \begin{bmatrix} f_1(k) \\ \vdots \\ f_p(k) \end{bmatrix} \in \mathbb{R}^p \Rightarrow 1 \text{ défaut par capteur}$

→ $D_f = I_p \Rightarrow W_{rf} = W$

⇒ les p colonnes de W définissent les p directions associées aux défauts

⇒ si r est colinéaire à $W^{[i]} \Rightarrow$ défaut capteur sur la $i^{\text{ème}}$ mesure

Espace de parité statique - isolation

- Expression du résidu dans le cas avec perturbation

- $r(k) = Wy(k) = WCx(k) + WD_f f(k) + WD_d d(k)$

- $r(k) \in \mathbb{R}^{p-\text{rang}(C)}$, $x(k) \in \mathbb{R}^n$, $f(k) \in \mathbb{R}^{m_f}$, $d(k) \in \mathbb{R}^{m_d}$, $W \in \mathbb{R}^{(p-\text{rang}(C)) \times n}$ t.q. $WC=0$

- $W_{rf} = WD_f = [W_{rf}^{[1]} \dots W_{rf}^{[m_f]}] \in \mathbb{R}^{(p-\text{rang}(C)) \times m_f}$, $W_{rd} = WD_d = [W_{rd}^{[1]} \dots W_{rd}^{[m_d]}] \in \mathbb{R}^{(p-\text{rang}(C)) \times m_d}$

- Méthode d'isolation dans le cas avec perturbation

- orientation de $r(k)$ dépend

- des m_f directions des défauts données par les colonnes W_{rf}

- des m_d directions des perturbations données par les colonnes de W_{rd}

si $r(k)$ est le plus colinéaire à $W_{rf}^{[i]} \Rightarrow$ défaut f_i isolé

- Exemple : $p - n = 2$, $m_f = 3$, $m_d = 2$

- objectif : isoler 1 défaut parmi 3

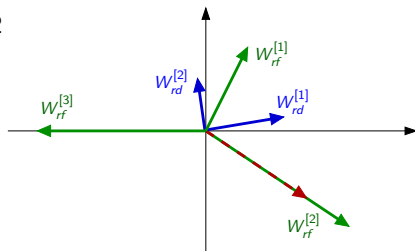
- 3 directions pour les défauts

- $W_{rf} = \begin{bmatrix} W_{rf}^{[1]} & W_{rf}^{[2]} & W_{rf}^{[3]} \end{bmatrix}$

- 3 directions pour les perturbations

- $W_{rd} = \begin{bmatrix} W_{rd}^{[1]} & W_{rd}^{[2]} \end{bmatrix}$

- ici r est le plus colinéaire à $W_{rf}^{[2]}$



Espace de parité statique - isolation

- Expression du résidu dans le cas avec perturbation

- $r(k) = Wy(k) = WCx(k) + WD_f f(k) + WD_d d(k)$

- $r(k) \in \mathbb{R}^{p-\text{rang}(C)}$, $x(k) \in \mathbb{R}^n$, $f(k) \in \mathbb{R}^{m_f}$, $d(k) \in \mathbb{R}^{m_d}$, $W \in \mathbb{R}^{(p-\text{rang}(C)) \times n}$ t.q. $WC=0$

- $W_{rf} = WD_f = [W_{rf}^{[1]} \dots W_{rf}^{[m_f]}] \in \mathbb{R}^{(p-\text{rang}(C)) \times m_f}$, $W_{rd} = WD_d = [W_{rd}^{[1]} \dots W_{rd}^{[m_d]}] \in \mathbb{R}^{(p-\text{rang}(C)) \times m_d}$

- Méthode d'isolation dans le cas avec perturbation

- orientation de $r(k)$ dépend

- des m_f directions des défauts données par les colonnes W_{rf}

- des m_d directions des perturbations données par les colonnes de W_{rd}

si $r(k)$ est le plus colinéaire à $W_{rf}^{[i]} \Rightarrow$ défaut f_i isolé

- Exemple : $p - n = 2$, $m_f = 3$, $m_d = 2$

- objectif : isoler 1 défaut parmi 3

- 3 directions pour les défauts

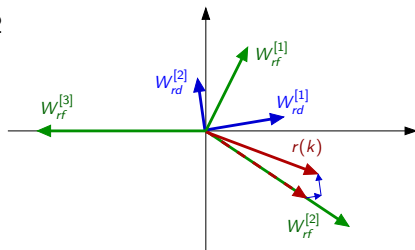
- $W_{rf} = \begin{bmatrix} W_{rf}^{[1]} & W_{rf}^{[2]} & W_{rf}^{[3]} \end{bmatrix}$

- 3 directions pour les perturbations

- $W_{rd} = \begin{bmatrix} W_{rd}^{[1]} & W_{rd}^{[2]} \end{bmatrix}$

- ici r est le plus colinéaire à $W_{rf}^{[2]}$

- ⇒ défaut f_2 isolé \Rightarrow comment évaluer la colinéarité avec MATLAB ?

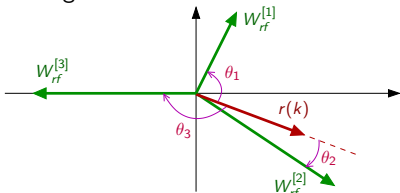


Espace de parité statique - isolation

- Expression du résidu dans le cas avec perturbation

if $r(k)$ est **le plus colinéaire** à $W_{rf}^{[i]} \Rightarrow$ défaut f_i isolé

- Comment évaluer la colinéarité de deux vecteurs?
 - calcul de l'angle entre deux vecteurs



→ angle θ_i obtenu à partir du produit scalaire $r^T \cdot W_{rf}^{[i]} = \|r\| \cdot \|W_{rf}^{[i]}\| \cdot \cos(\theta_i)$

$$\bullet \theta_i = \arccos \frac{r^T W_{rf}^{[i]}}{\|r\| \cdot \|W_{rf}^{[i]}\|} \Rightarrow \theta_i = \arccos \frac{r^T W_{rf}^{[i]}}{\sqrt{r^T r} \sqrt{W_{rf}^{[i]T} W_{rf}^{[i]}}}$$

→ plus θ_i est petit, plus r et $W_{rf}^{[i]}$ sont colinéaires

→ défaut f_i isolé où $i = \arg \min_i \theta_i$

→ exemple ci-dessus : $\min \theta_i = \theta_2 \Rightarrow$ défaut f_2 isolé

Static parity space - isolation

• Exercice

$$\bullet \quad y(k) = \begin{bmatrix} y_1(k) \\ y_2(k) \\ y_3(k) \\ y_4(k) \\ y_5(k) \end{bmatrix} = \begin{bmatrix} 1 & 0 & 1 \\ 1 & 2 & 1 \\ 2 & 0 & 2 \\ 1 & 0 & 2 \\ 2 & 2 & 2 \end{bmatrix} \begin{bmatrix} x_1(k) \\ x_2(k) \\ x_3(k) \end{bmatrix} + \begin{bmatrix} 0 & 0 \\ 0 & 1 \\ 1 & 2 \\ 0 & 0 \\ 0 & 0 \end{bmatrix} \begin{bmatrix} f_1(k) \\ f_2(k) \end{bmatrix} + \begin{bmatrix} 1 & 0 \\ 1 & 0 \\ 1 & 0 \\ 0 & 1 \\ 0 & 1 \end{bmatrix} \begin{bmatrix} d_1(k) \\ d_2(k) \end{bmatrix}$$

→ $d_1(k)$ est un bruit affectant les mesures 1, 2 et 3

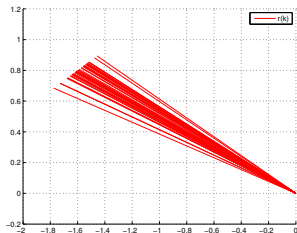
→ $d_2(k)$ est un bruit affectant les mesures 4 et 5

- ① Rappeler la forme de calcul du résidu $r(k) = Wy(k)$ insensible à $x(k)$.
 - ② Donner la forme d'évaluation de $r(k)$ en fonction de $d(k)$ et $f(k)$ et préciser les valeurs des matrices $W_{rd} = WD_d$ et $W_{rf} = WD_f$.
 - ③ Un défaut se produit à l'instant $k = 50$, $r(60) = \begin{bmatrix} -2.09 \\ 1.44 \end{bmatrix}$. Isoler le défaut en utilisant une approche graphique.
 - ④ Confirmer la conclusion en calculant les angles θ_i .
- Vérifier les résultats en utilisant MATLAB

Static parity space - isolation

- Exercice

- Prise en compte de l'évolution temporelle de $r(k)$
 - un autre défaut conduit à la séquence de résidus $r(k)$ ci-dessous

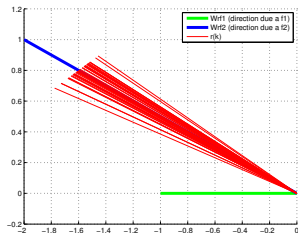


→ Quel défaut se produit ?

Static parity space - isolation

● Exercice

- Prise en compte de l'évolution temporelle de $r(k)$
 - un autre défaut conduit à la séquence de résidus $r(k)$ ci-dessous



- Quel défaut se produit ?
- ⇒ f_2 isolé ($r(k)$ orienté selon $W_{rf}^{[2]}$)

Espace de parité statique - récapitulatif

- Modèle : $y(k) = Cx(k) + D_d d(k) + D_f f(k)$, $y \in \mathbb{R}^p, x \in \mathbb{R}^n, d \in \mathbb{R}^{m_d}, f \in \mathbb{R}^{m_f}$
 - Résidu : $r(k) = Wy(k) = WCx(k) + WD_d d(k) + WD_f f(k)$
 - Insensibilité à l'état : trouver W t.q. $WC = 0$ ($W \in \mathbb{R}^{(p-\text{rang}(C)) \times n}$)
 - Sensibilité aux défauts vérifiée a posteriori :
colonne i de WD_f non nulle \Rightarrow défaut f_i détectable avec $r(k)$
 - Robustesse parfaite aux perturbations : trouver W t.q. $W \begin{bmatrix} C & D_d \end{bmatrix} = 0$
 - Résidu le plus sensible aux défauts et le moins sensible aux perturbations :
 $\bar{r}(k) = v^T Wy(k)$ (v obtenue avec le théorème de Gantmacher)
 - Isolation : r le plus colinéaire à la colonne i de $WD_f \Rightarrow f_i$ isolé
 - Limitations de l'approche de l'espace de parité statique
 - \rightarrow limité à la détection/localisation des pannes capteurs uniquement
 - \rightarrow que faire si W n'existe pas ? (pas de redondance directe entre les mesures)
- \Rightarrow Une solution : utiliser la redondance temporelle entre commandes et mesures à différents instants \Rightarrow espace de parité dynamique

Espace de parité dynamique - principe

- Modèle

- $\Sigma_k \begin{cases} x(k+1) = Ax(k) + Bu(k) + B_d d(k) + B_f f(k) \\ y(k) = Cx(k) + Du(k) + D_d d(k) + D_f f(k) \end{cases}$

→ $x \in \mathbb{R}^n, y \in \mathbb{R}^p, u \in \mathbb{R}^m, d \in \mathbb{R}^{m_d}, f \in \mathbb{R}^{m_f}$

- Idée

- utiliser la redondance temporelle liant commandes/mesures à \neq instants

→ mesures $y(k)$ et commandes $u(k)$ collectées sur une fenêtre temporelle

- Modèle sur la fenêtre temporelle $[k-s, k]$

$$Y(k-s, k) = \Phi_U(s)U(k-s, k) + Q_o(s)x(k-s) + \Phi_D(s)D(k-s, k) + \Phi_F(s)F(k-s, k)$$

→ s : taille de la fenêtre temporelle

→ $Y(k-s, k) = \begin{bmatrix} y(k-s) \\ y(k-s+1) \\ \vdots \\ y(k) \end{bmatrix}, U(k-s, k) = \begin{bmatrix} u(k-s) \\ u(k-s+1) \\ \vdots \\ u(k) \end{bmatrix}, D(k, s) = \dots$

→ *exercice : trouver les expressions de $\Phi_U(s)$, $Q_o(s)$, $\Phi_D(s)$ et $\Phi_F(s)$ (approche récursive pour déterminer $y(k-s)$, puis $y(k-s+1)$...)*

Espace de parité dynamique - principe

- Modèle

- $$\Sigma_k \begin{cases} x(k+1) = Ax(k) + Bu(k) + B_d d(k) + B_f f(k) \\ y(k) = Cx(k) + Du(k) + D_d d(k) + D_f f(k) \end{cases}$$

- Modèle sur la fenêtre temporelle $[k-s, k]$

$$Y(k-s, k) = \Phi_U(s)U(k-s, k) + Q_0(s)x(k-s) + \Phi_D(s)D(k-s, k) + \Phi_F(s)F(k-s, k)$$

$$\underbrace{\begin{bmatrix} y(k-s) \\ y(k-s+1) \\ y(k-s+2) \\ \vdots \\ y(k) \end{bmatrix}}_{Y(k-s, k)} = \underbrace{\begin{bmatrix} C \\ CA \\ CA^2 \\ \vdots \\ CA^s \end{bmatrix}}_{Q_0(s)} x(k-s) + \underbrace{\begin{bmatrix} D & 0 & \dots & 0 & 0 \\ CB & D & \dots & 0 & 0 \\ CAB & CB & \dots & 0 & 0 \\ \vdots & \vdots & \ddots & D & 0 \\ CA^{s-1}B & CA^{s-2}B & \dots & CB & D \end{bmatrix}}_{\Phi_U(s)} \underbrace{\begin{bmatrix} u(k-s) \\ u(k-s+1) \\ u(k-s+2) \\ \vdots \\ u(k) \end{bmatrix}}_{U(k-s, k)}$$

$$+ \underbrace{\begin{bmatrix} D_d & 0 & \dots & 0 & 0 \\ CB_d & D_d & \dots & 0 & 0 \\ CAB_d & CB_d & \dots & 0 & 0 \\ \vdots & \vdots & \ddots & D_d & 0 \\ CA^{s-1}B_d & CA^{s-2}B_d & \dots & CB_d & D_d \end{bmatrix}}_{\Phi_D(s)} \underbrace{\begin{bmatrix} d(k-s) \\ d(k-s+1) \\ d(k-s+2) \\ \vdots \\ d(k) \end{bmatrix}}_{D(k-s, k)} + \underbrace{\begin{bmatrix} D_f & 0 & \dots & 0 & 0 \\ CB_f & D_f & \dots & 0 & 0 \\ CAB_f & CB_f & \dots & 0 & 0 \\ \vdots & \vdots & \ddots & D_f & 0 \\ CA^{s-1}B_f & CA^{s-2}B_f & \dots & CB_f & D_f \end{bmatrix}}_{\Phi_F(s)} \underbrace{\begin{bmatrix} f(k-s) \\ f(k-s+1) \\ f(k-s+2) \\ \vdots \\ f(k) \end{bmatrix}}_{F(k-s, k)}$$

→ objectif : trouver $r(k) = f(Y(k-s, k), U(k-s, k))$ insensible à $x(k)$ 51 / 76

Espace de parité dynamique - principe

- Modèle sur la fenêtre temporelle $[k - s, k]$

$$Y(k-s, k) = \Phi_U(s)U(k-s, k) + Q_o(s)x(k-s) + \Phi_D(s)D(k-s, k) + \Phi_F(s)F(k-s, k)$$

- Résidu obtenu par combinaison linéaire des commandes et mesures collectées

- $r(k) = W(Y(k-s, k) - \Phi_U(s)U(k-s, k))$ (forme de calcul)

- tire parti de la redondance temporelle entre u et y à différents instants
- ⇒ inter-redondance

Remarque

- Des résidus scalaires $\tilde{r}_j(k)$ peuvent être générés en utilisant une unique mesure $y_j(k) \Rightarrow$ auto-redondance
- $\tilde{r}_j(k) = \tilde{W}_j \left(\tilde{Y}_j(k-s, k) - \tilde{\Phi}_U^j(s)U(k-s, k) \right)$
- $\tilde{Y}_j(k-s, k) = \tilde{\Phi}_U^j(s)U(k-s, k) + \tilde{Q}_o^j(s)x(k-s) + \tilde{\Phi}_D^j(s)D(k-s, k) + \tilde{\Phi}_F^j(s)F(k-s, k)$
- $\tilde{\Phi}_U^j(s), \tilde{Q}_o^j(s), \tilde{\Phi}_D^j(s), \tilde{\Phi}_F^j(s)$ obtenues en remplaçant C, D, D_d, D_f par leur $j^{\text{ème}}$ ligne
- ⇒ permet d'aborder le problème de localisation

Espace de parité dynamique - détection

- Modèle sur la fenêtre temporelle $[k - s, k]$
 - $Y(k-s, k) = \Phi_U(s)U(k-s, k) + Q_o(s)x(k-s) + \Phi_D(s)D(k-s, k) + \Phi_F(s)F(k-s, k)$
 - Forme de calcul
 - $r(k) = W(Y(k-s, k) - \Phi_U(s)U(k-s, k))$
 - Forme d'évaluation
 - $r(k) = WQ_o(s)x(k-s) + W\Phi_D(s)D(k-s, k) + W\Phi_F(s)F(k-s, k)$
 - Insensibilité à l'état
 - $r(k)$ insensible à l'état si W t.q. $WQ_o(s) = 0$
 - condition d'existence : W existe si $p(s+1) > \text{rang}(Q_o(s))$
- $W \in \mathbb{R}^{(p(s+1) - \text{rang}(Q_o(s))) \times p(s+1)}$
- W déterminée avec la même méthode que pour l'espace de parité statique

Espace de parité dynamique - détection

- Forme d'évaluation

- $r(k) = WQ_o(s)x(k-s) + W\Phi_D(s)D(k-s,k) + W\Phi_F(s)F(k-s,k)$

→ with W s.t. $WQ_o(s) = 0$

- Sensibilité aux défauts : vérifiée a posteriori

- effet des défauts évaluée avec la matrice $W_{rF} = W\Phi_F(s)$
 - dans le cas sans défaut, le résidu s'écrit

→ $r(k) = \left[W_{rF}^{[1]} \dots W_{rF}^{[m_f]} \mid W_{rF}^{[m_f+1]} \dots W_{rF}^{[2m_f]} \mid \dots \mid W_{rF}^{[sm_f+1]} \dots W_{rF}^{[(s+1)m_f]} \right] \begin{bmatrix} f_1(k-s) \\ \dots \\ f_{m_f}(k-s) \\ \hline f_1(k-s+1) \\ \dots \\ f_{m_f}(k-s+1) \\ \hline \dots \\ f_1(k) \\ \dots \\ f_{m_f}(k) \end{bmatrix}$

- si un défaut unique constant $f_i(k)$ se produit, après s échantillons :

→ $r(k) = W_{rF}^{[i]} f_i(k-s) + W_{rF}^{[m_f+i]} f_i(k-s) + \dots + W_{rF}^{[sm_f+i]} f_i(k-s)$
 $= (W_{rF}^{[i]} + W_{rF}^{[m_f+i]} + \dots + W_{rF}^{[sm_f+i]}) f_i(k-s)$

f_i fortement détectable $\Leftrightarrow \sum_{j=0}^s W_{rF}^{[jm_f+i]} \neq 0$

f_i faiblement détectable $\Leftrightarrow \exists q \leq s$ s.t. $\sum_{j=s-q}^s W_{rF}^{[jm_f+i]} \neq 0$

Espace de parité dynamique - détection

- Forme d'évaluation

- $r(k) = WQ_o(s)x(k-s) + W\Phi_D(s)D(k-s,k) + W\Phi_F(s)F(k-s,k)$

- avec W t.q. $WQ_o(s) = 0$

- Robustesse aux perturbations : vérifiée a posteriori

- effet des perturbations évalué en utilisant $W_{rD} = W\Phi_D(s)$

résidu insensible à d_i si toutes les colonnes $W_{rD}^{[i]}, W_{rD}^{[m_d+i]}, \dots, W_{rD}^{[sm_d+i]}$ sont nulles

- Robustesse parfaite aux perturbations : contrainte imposée a priori

- choisir W t.a. $W\Phi_D(s) = 0 \Rightarrow$ choisir W t.q. $W \begin{bmatrix} Q_o(s) & \Phi_D(s) \end{bmatrix} = 0$

- une telle matrice W existe si $p(s+1) > \text{rang}(\begin{bmatrix} Q_o(s) & \Phi_D(s) \end{bmatrix})$

- condition rarement satisfaite

- ⇒ recherche du résidu le plus sensible aux défauts et le moins sensible aux perturbations

Espace de parité dynamique - détection

• Forme d'évaluation

$$r(k) = WQ_o(s)x(k-s) + W\Phi_D(s)D(k-s,k) + W\Phi_F(s)F(k-s,k)$$

→ avec W t.q. $WQ_o(s) = 0$

• Résidu le plus sensible aux défauts et le moins sensible aux perturbations

- résidu scalaire obtenu par combinaison linéaire des composantes de $r(k)$

$$\rightarrow \bar{r}(k) = v^T r(k) = v^T W\Phi_D(s)D(k-s,k) + v^T W\Phi_F(s)F(k-s,k)$$

- choix du sélecteur optimal

$$\rightarrow v^* = \arg \min_v \frac{\|v^T W\Phi_D(s)\|_2^2}{\|v^T W\Phi_F(s)\|_2^2} = \arg \min_v \frac{v^T W\Phi_D(s)\Phi_D^T(s)W^T v}{v^T W\Phi_F(s)\Phi_F^T(s)W^T v}$$

→ method to determine v^*

- 1 Déterminer W t.q. $WQ_o(s) = 0$
- 2 Calculer les valeurs propres λ du faisceau $(W\Phi_D(s)\Phi_D^T(s)W^T, W\Phi_F(s)\Phi_F^T(s)W^T)$
- 3 Calculer le vecteur propre v^* associé à la plus petite valeur propre λ_{min}

Espace de parité dynamique - isolation

- Localisation de défauts dans le cas sans perturbation

- Forme d'évaluation du résidu :

$$r(k) = W\Phi_F(s)F(k-s, k) = W_{rF}F(k-s, k)$$

$$\rightarrow r(k) = \left[W_{rF}^{[1]} \dots W_{rF}^{[m_f]} \mid W_{rF}^{[m_f+1]} \dots W_{rF}^{[2m_f]} \mid \dots \mid W_{rF}^{[sm_f+1]} \dots W_{rF}^{[(s+1)m_f]} \right] \begin{bmatrix} f_1(k-s) \\ \vdots \\ f_{m_f}(k-s) \\ \hline f_1(k-s+1) \\ \vdots \\ f_{m_f}(k-s+1) \\ \hline \vdots \\ f_1(k) \\ \vdots \\ f_{m_f}(k) \end{bmatrix}$$

- $f_i(k)$ varie \Rightarrow amplitude et orientation de $r(k)$ varient

$$\rightarrow r(k) = W_{rF}^{[i]} f_i(k-s) + W_{rF}^{[i+m_f]} f_i(k-s+1) + \dots + W_{rF}^{[i+sm_f]} f_i(k)$$

- si $f_i(k)$ constant, s échantillons après apparition du défaut :

$$\begin{aligned} \rightarrow r(k) &= W_{rF}^{[i]} f_i(k-s) + W_{rF}^{[i+m_f]} f_i(k-s) + \dots + W_{rF}^{[i+sm_f]} f_i(k-s) \\ &= (W_{rF}^{[i]} + W_{rF}^{[i+m_f]} + \dots + W_{rF}^{[i+sm_f]}) f_i(k-s) \end{aligned}$$

- sous hyp. de défaut constant, s échantillons après apparition du défaut

$$\text{si } r(k) \text{ colinéaire à } W_{rF}^{[i]} + W_{rF}^{[i+m_f]} + \dots + W_{rF}^{[i+sm_f]} \Rightarrow \text{défaut } f_i \text{ isolé}$$

Espace de parité dynamique - taille de la fenêtre

- Forme d'évaluation sur la fenêtre temporelle $[k - s, k]$
 - $r(k) = WQ_o(s)x(k-s) + W\Phi_D(s)D(k-s,k) + W\Phi_F(s)F(k-s,k)$
- Taille de la fenêtre **dépend du cahier des charges**
 - insensibilité à l'état
 - W t.q. $WQ_o(s) = 0$ existe si $p(s+1) > \text{rang}(Q_o(s))$
 - choix itératif de s (s augmenté jusqu'à satisfaire cette condition $\Rightarrow s_{min}$)
 - insensibilité aux perturbations
 - W t.q. $W [Q_o(s) \quad \Phi_D(s)] = 0$ existe si $p(s+1) > \text{rang}([Q_o(s) \quad \Phi_D(s)])$
 - choix itératif de s
 - résidu le plus sensible aux défauts et le moins sensible aux perturbations
 - $\bar{r}(k) = v^T r(k)$ avec v minimisant $J(s, v) = \frac{\|v^T W\Phi_D(s)\|_2^2}{\|v^T W\Phi_F(s)\|_2^2}$
 - critère $J(s, v)$ décroît quand s augmente
 - augmenter s jusqu'à satisfaire la condition de robustesse

Espace de parité dynamique - Exercice

$$\begin{bmatrix} x_1(k+1) \\ x_2(k+1) \end{bmatrix} = \begin{bmatrix} 0.8 & 0.2 \\ 0 & 0.9 \end{bmatrix} \begin{bmatrix} x_1(k) \\ x_2(k) \end{bmatrix} + \begin{bmatrix} 0 \\ 0.1 \end{bmatrix} u(k) + \begin{bmatrix} 1 & 0 \\ 1 & 0 \end{bmatrix} \begin{bmatrix} d_1(k) \\ d_2(k) \end{bmatrix} + \begin{bmatrix} 0 & 0 & 0 \\ 0.1 & 0 & 0 \end{bmatrix} \begin{bmatrix} f_1(k) \\ f_2(k) \\ f_3(k) \end{bmatrix}$$

$$\begin{bmatrix} y_1(k) \\ y_2(k) \end{bmatrix} = \begin{bmatrix} 1 & 0 \\ 0 & 1 \end{bmatrix} \begin{bmatrix} x_1(k) \\ x_2(k) \end{bmatrix} + \begin{bmatrix} 0 & 1 \\ 0 & 1 \end{bmatrix} \begin{bmatrix} d_1(k) \\ d_2(k) \end{bmatrix} + \begin{bmatrix} 0 & 1 & 0 \\ 0 & 0 & 1 \end{bmatrix} \begin{bmatrix} f_1(k) \\ f_2(k) \\ f_3(k) \end{bmatrix}$$

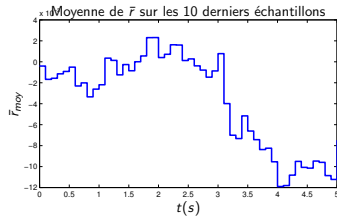
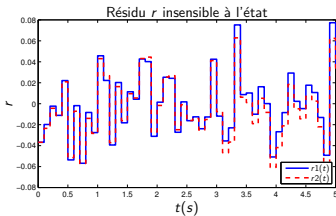
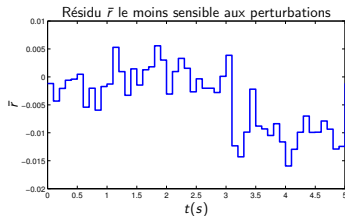
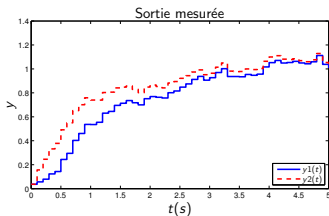
→ $f_1(k)$ défaut actionneur, $f_2(k)$ et $f_3(k)$ défauts capteurs

→ $d_1(k)$ perturbation sur l'état, $d_2(k)$ bruit de mesure

- 1 Est-il possible d'appliquer la méthode de l'espace de parité statique ?
 - 2 Donner la taille minimale de fenêtre s_{min} t.q. un résidu insensible à x existe
 - 3 Trouver W et donner la forme de calcul du résidu en fonction des commandes et mesures collectées.
 - 4 Donner la forme d'évaluation dépendant des défauts et perturbations. Indiquer les directions des défauts capteurs et actionneurs.
 - 5 3 instants après un défaut unique, $r(k) = \begin{bmatrix} 0.02 \\ -0.2 \end{bmatrix}$. Quel défaut s'est produit ?
 - 6 Donner l'expression du résidu $\bar{r}(k)$ le moins sensible aux perturbations (pour $s = s_{min}$) et comparer son efficacité à celle de $r_1(k)$ et $r_2(k)$
- ⇒ Vérifier les résultats en utilisant MATLAB

Espace de parité dynamique - Exercice

- Simulation en présence de bruits blancs et d'un défaut constant f_1



Plan du cours

- ① Vue d'ensemble des méthodes de détection et localisation de défauts
 - Tâches de diagnostic (définitions)
 - Approches basées sur la surveillance de signaux
 - Redondance matérielle
 - Redondance analytique

- ② Méthode de l'espace de parité
 - Rappel sur les systèmes échantillonnés
 - Espace de parité statique
 - Espace de parité dynamique

- ③ Cas d'étude : DLD pour un quadricoptère
 - Modélisation
 - Synthèse de la loi de commande

Modélisation

- Rappel sur le formalisme de Newton-Euler :
 - dans un repère inertiel \mathcal{I}

$$m \cdot \left. \frac{d\vec{v}}{dt} \right|_{\mathcal{I}} = \sum_i \vec{F}_i^{\mathcal{I}}$$

$$\left. \frac{d\vec{\sigma}}{dt} \right|_{\mathcal{I}} = \left. \frac{d(I\vec{\Omega})}{dt} \right|_{\mathcal{I}} = \sum_i \vec{M}_i^{\mathcal{I}}$$

- dans un repère non inertiel \mathcal{B}

$$m \cdot \left. \frac{d\vec{v}}{dt} \right|_{\mathcal{B}} + \vec{\Omega} \wedge m\vec{v} = \sum_i \vec{F}_i^{\mathcal{B}}$$

$$\left. \frac{d\vec{\sigma}}{dt} \right|_{\mathcal{I}} = \left. \frac{d(I\vec{\Omega})}{dt} \right|_{\mathcal{B}} + \vec{\Omega} \wedge I\vec{\Omega} = \sum_i \vec{M}_i^{\mathcal{B}}$$



m - masse

$\vec{\sigma}$ - moment angulaire

I - matrice d'inertie

$\vec{\Omega}$ - vitesse angulaire de \mathcal{B}
par rapport à \mathcal{I}

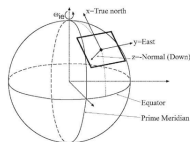
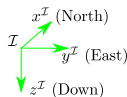
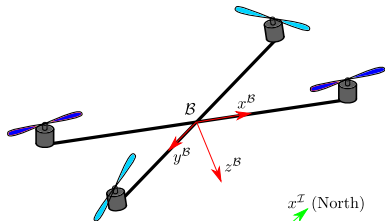
Repères utilisés

- repère inertiel (Terre, NED – North East Down) :

$$(\mathcal{I}, x^{\mathcal{I}}, y^{\mathcal{I}}, z^{\mathcal{I}})$$

- repère non inertiel (body, drone) :

$$(\mathcal{B}, x^{\mathcal{B}}, y^{\mathcal{B}}, z^{\mathcal{B}})$$

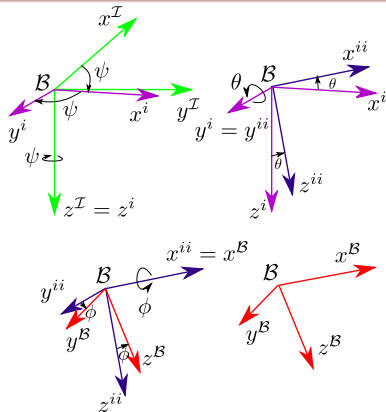


Angles d'Euler

$$R_z(\psi) = \begin{bmatrix} \cos(\psi) & -\sin(\psi) & 0 \\ \sin(\psi) & \cos(\psi) & 0 \\ 0 & 0 & 1 \end{bmatrix}$$

$$R_y(\theta) = \begin{bmatrix} \cos(\theta) & 0 & \sin(\theta) \\ 0 & 1 & 0 \\ -\sin(\theta) & 0 & \cos(\theta) \end{bmatrix}$$

$$R_x(\phi) = \begin{bmatrix} 1 & 0 & 0 \\ 0 & \cos(\phi) & -\sin(\phi) \\ 0 & \sin(\phi) & \cos(\phi) \end{bmatrix}$$



- Passage d'un vecteur du repère body vers le repère inertiel :

$$X^I = R_z(\psi)R_y(\theta)R_x(\phi)X^B \quad (1)$$

- Orthogonalité : $R_a(\eta)^{-1} = R_a(-\eta) = R_a(\eta)^T, \forall a \in \{x, y, z\}$

Propriétés de la matrice de rotation

- Matrice de rotation du repère body vers le repère inertiel

$$R_{\mathcal{B}}^{\mathcal{I}} = R_z(\psi)R_y(\theta)R_x(\phi) \quad (2)$$

et $X^{\mathcal{I}} = R_{\mathcal{B}}^{\mathcal{I}}X^{\mathcal{B}}$.

- Transformation inverse :

$$X^{\mathcal{B}} = R_x(-\phi)R_y(-\theta)R_z(-\psi)X^{\mathcal{I}} \quad (3)$$

et

$$R_{\mathcal{I}}^{\mathcal{B}} = R_x(-\phi)R_y(-\theta)R_z(-\psi) = (R_{\mathcal{B}}^{\mathcal{I}})^{-1} \quad (4)$$

- Alors : $(R_{\mathcal{B}}^{\mathcal{I}})^{-1} = (R_{\mathcal{B}}^{\mathcal{I}})^T$ et $(R_{\mathcal{I}}^{\mathcal{B}})^{-1} = (R_{\mathcal{I}}^{\mathcal{B}})^T$

$$R_{\mathcal{B}}^{\mathcal{I}} = \begin{bmatrix} c\psi c\theta & -s\psi c\phi + c\psi s\theta s\phi & s\psi s\phi + c\psi s\theta c\phi \\ s\psi c\theta & c\psi c\phi + s\psi s\theta s\phi & -c\psi s\phi + s\psi s\theta c\phi \\ -s\theta & c\theta s\phi & c\theta c\phi \end{bmatrix} \quad (5)$$

PFD en translation (repère inertiel)

- Forces principales agissant sur le drone

- Gravité $\vec{G}^{\mathcal{I}} = \begin{bmatrix} 0 \\ 0 \\ mg \end{bmatrix}$

- Poussée des moteurs $\vec{F}_i^{\mathcal{B}} = \begin{bmatrix} 0 \\ 0 \\ -k\omega_i^2 \end{bmatrix}$, $\forall i \in 1, \dots, 4$ (ω_i = vitesse de rotation du moteur i)

- Forces aérodynamiques négligées (faibles dans le cas des multicoptères)

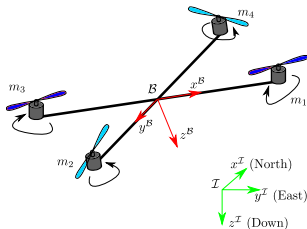
- On obtient

$$m\vec{a}^{\mathcal{I}} = \vec{G}^{\mathcal{I}} + R_B^{\mathcal{I}} \sum_{i=1}^4 \vec{F}_i^{\mathcal{B}} \quad (6)$$

PFD en rotation (repère body)

- Moments agissant sur le drone

$$\vec{M}^B = \begin{bmatrix} I k (\omega_4^2 - \omega_2^2) \\ I k (\omega_1^2 - \omega_3^2) \\ d (\omega_2^2 + \omega_4^2 - \omega_1^2 - \omega_3^2) \end{bmatrix}$$



- On obtient

$$I \frac{d\vec{\Omega}}{dt} = -\vec{\Omega} \wedge I \vec{\Omega} + \vec{M}^B \quad (7)$$

- Dans le repère drone

$$I = \begin{bmatrix} I_{xx} & 0 & 0 \\ 0 & I_{yy} & 0 \\ 0 & 0 & I_{zz} \end{bmatrix} \quad (8)$$

Linéarisation du comportement dynamique de l'engin

- Définition du centre de gravité comme r .
- Le quadricoptère est linéarisé autour d'un mode de vol stationnaire
 $\phi = 0, \theta = 0, \psi = \psi_0, x, y, z = \text{const.}, \dot{x}, \dot{y}, \dot{z} = 0, \dot{\phi} = \dot{\theta} = \dot{\psi} = 0$.
- En mode de vol stationnaire et en considérant quatre moteurs identiques

$$\omega_0 = \sqrt{\frac{mg}{4k}}$$

- Introduisons les petites variations suivantes

$$\Delta\phi, \Delta\theta, \Delta\omega$$

Linéarisation du comportement dynamique de l'engin

- D'après le PFD en translation appliqué dans le repère inertiel \mathcal{I}

$$m \begin{bmatrix} \ddot{x} \\ \ddot{y} \\ \ddot{z} \end{bmatrix} = \begin{bmatrix} 0 \\ 0 \\ mg \end{bmatrix} + R_B^{\mathcal{I}} \begin{bmatrix} 0 \\ 0 \\ -4k\omega^2 \end{bmatrix} = \begin{bmatrix} 0 \\ 0 \\ mg \end{bmatrix} - \begin{bmatrix} s\psi s\phi + c\psi s\theta c\phi \\ s\psi s\theta c\phi - c\psi s\phi \\ c\theta c\phi \end{bmatrix} 4k\omega^2$$

- En considérant un vol stationnaire aux petites perturbations, les équations précédentes deviennent

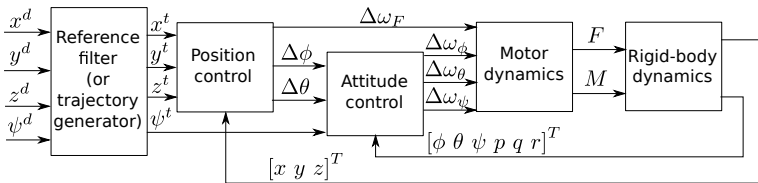
$$m \begin{bmatrix} \ddot{x} \\ \ddot{y} \\ \ddot{z} \end{bmatrix} = \begin{bmatrix} 0 \\ 0 \\ mg \end{bmatrix} - \begin{bmatrix} s\psi \Delta\phi + c\psi \Delta\theta \\ s\psi \Delta\theta - c\psi \Delta\phi \\ 1 \end{bmatrix} 4k(\omega_0 + \Delta\omega_F)^2 \quad (9)$$

- Après simplification des termes en $\mathcal{O}(\Delta^2)$

$$\begin{cases} \ddot{x} = -\frac{1}{m} (s\psi \Delta\phi + c\psi \Delta\theta) 4k\omega_0^2 = -g (s\psi \Delta\phi + c\psi \Delta\theta) \\ \ddot{y} = -\frac{1}{m} (s\psi \Delta\theta - c\psi \Delta\phi) 4k\omega_0^2 = -g (s\psi \Delta\theta - c\psi \Delta\phi) \\ \ddot{z} = \frac{1}{m} (mg - 4k(\omega_0^2 + 2\omega_0 \Delta\omega_F)) = -\frac{8k\omega_0}{m} \Delta\omega_F \end{cases} \quad (10)$$

Asservissement en position

- Schéma de commande proposé¹



- Dans le schéma précédent

- x^d , y^d , z^d , et ψ^d sont les consignes de position et d'angle de lacet
- $x^t(t)$, $y^t(t)$, $z^t(t)$, et $\psi^t(t)$ sont les trajectoire que doit suivre le quadricoptère.

1. Schéma partiellement inspiré de Manish Kumar, *Quadcopter dynamic modeling and control*, transparents présentés à l'IMA, 2017.

Asservissement en position

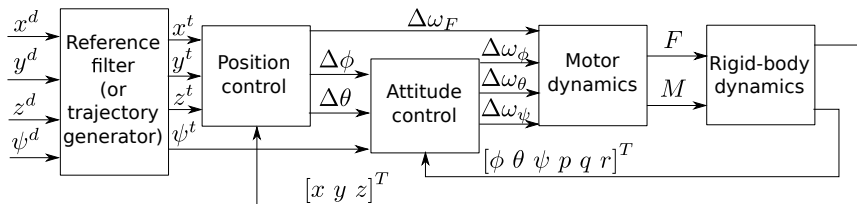
- Le bloc *position control* calcule d'abord $\Delta\ddot{x}$, $\Delta\ddot{y}$, $\Delta\ddot{z}$:

$$\begin{cases} \Delta\ddot{x} = \ddot{x}^t + H_{pid}^{\ddot{x}}(x^t - x) \\ \Delta\ddot{y} = \ddot{y}^t + H_{pid}^{\ddot{y}}(y^t - y) \\ \Delta\ddot{z} = \ddot{z}^t + H_{pid}^{\ddot{z}}(z^t - z) \end{cases} \quad (11)$$

- Ensuite, en utilisant (10)

$$\begin{cases} \Delta\phi = -\frac{1}{g} (s\psi\Delta\ddot{x} - c\psi\Delta\ddot{y}) \\ \Delta\theta = -\frac{1}{g} (c\psi\Delta\ddot{x} + s\psi\Delta\ddot{y}) \\ \Delta\omega_F = -\frac{m}{8k\omega_0} \Delta\ddot{z} \end{cases} \quad (12)$$

Asservissement en attitude



- Le bloc *attitude control* calcule $\Delta\omega_\phi$, $\Delta\omega_\theta$, $\Delta\omega_\psi$ avec

$$\begin{cases} \Delta\omega_\phi = H_{pid}^\phi(\Delta\phi - \phi) \\ \Delta\omega_\theta = H_{pid}^\theta(\Delta\theta - \theta) \end{cases} \quad (13)$$

et

$$\Delta\omega_\psi = H_{pid}^\psi(\psi^t - \psi) \quad (14)$$

Comportement dynamique des moteurs

- Découplage des entrées de commande

$$\begin{bmatrix} \Delta\omega_F \\ \Delta\omega_\phi \\ \Delta\omega_\theta \\ \Delta\omega_\psi \end{bmatrix} = \begin{bmatrix} 1/4 & 1/4 & 1/4 & 1/4 \\ 0 & -2kl\omega_0 & 0 & 2kl\omega_0 \\ 2kl\omega_0 & 0 & -2kl\omega_0 & 0 \\ -2d\omega_0 & 2d\omega_0 & -2d\omega_0 & 2d\omega_0 \end{bmatrix} \begin{bmatrix} \Delta\omega_1 \\ \Delta\omega_2 \\ \Delta\omega_3 \\ \Delta\omega_4 \end{bmatrix} \quad (15)$$

$$\Leftrightarrow \begin{bmatrix} \Delta\omega_1 \\ \Delta\omega_2 \\ \Delta\omega_3 \\ \Delta\omega_4 \end{bmatrix} = \begin{bmatrix} 1 & 0 & \frac{1}{4kl\omega_0} & -\frac{1}{8d\omega_0} \\ 1 & -\frac{1}{4kl\omega_0} & 0 & \frac{1}{8d\omega_0} \\ 1 & 0 & -\frac{1}{4kl\omega_0} & -\frac{1}{8d\omega_0} \\ 1 & \frac{1}{4kl\omega_0} & 0 & \frac{1}{8d\omega_0} \end{bmatrix} \begin{bmatrix} \Delta\omega_F \\ \Delta\omega_\phi \\ \Delta\omega_\theta \\ \Delta\omega_\psi \end{bmatrix} \quad (16)$$

- Les forces de poussées sont calculées en utilisant : $k(\omega_0 + \Delta\omega_i)^2$
- Les moments sont calculés en utilisant : $d(\omega_0 + \Delta\omega_i)^2$

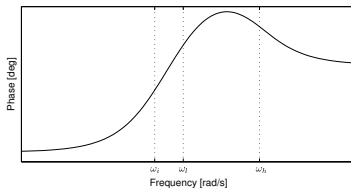
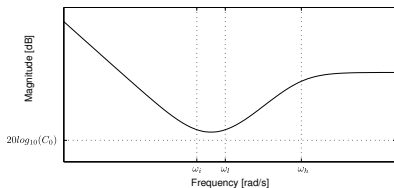
Synthèse d'une loi de commande PID

- Fonction de transfert d'une loi de commande PID

$$H_{pid}(s) = C_0 C_i(s) C_d(s) \quad (17)$$

avec

$$C_i(s) = \frac{1 + s/\omega_i}{s/\omega_i} \quad \text{and} \quad C_d(s) = \frac{1 + s/\omega_l}{1 + s/\omega_h} \quad (18)$$



- Entrées

- $G(s)$ - modèle linéaire du procédé
- ω_U - pulsation au gain unité de la boucle ouverte (rad/s)
- M_ϕ - phase de marge désirée (rad)

Synthèse d'une loi de commande PID

- Calculs

① $\omega_i = \omega_u/10$

② $\rho_u = |C_i(j\omega_u)| \cdot |G(j\omega_u)|, \phi_u = \arg(C_i(j\omega_u)) + \arg(G(j\omega_u))$

③ $\varphi_m = M_\phi - \pi - \phi_u$

④ $a = \frac{1+\sin(\varphi_m)}{1-\sin(\varphi_m)}, w_l = \frac{w_u}{\sqrt{a}}, w_h = w_u\sqrt{a}$

⑤ $C_0 = \frac{1}{\sqrt{a}\rho_u}$

- Modèles linéaires monovariables pour la synthèse duPID

$$H_\phi(s) = \frac{1}{I_{xx}s^2}$$

$$H_\theta(s) = \frac{1}{I_{yy}s^2}$$

$$H_\psi(s) = \frac{1}{I_{zz}s^2}$$

$$H_x(s) = \frac{1}{s^2}$$

$$H_y(s) = \frac{1}{s^2}$$

$$H_z(s) = \frac{1}{s^2}$$